

Eficácia de um Classificador Neural e a Importância Crítica da Normalização de Dados para Convergência

**André Malmsteen Oliveira Amorim, Benjamim Isaac Ribeiro Lima,
Diego Gabriel Silva Azevedo, Guilherme da Silva Pereira,
Letícia Araújo, Manfred Lima Veiga**

¹Instituto de Computação – Universidade Federal do Amazonas (UFAM)
Av. Rodrigo Octávio 6200, Coroad I – CEP 69080-900 – Manaus – AM – Brasil

{pereira.guilherme, andre.mlmst, benjamim.lima}@icomp.ufam.br

{diego.gabrielsa, leticia.araujo, manfred.veiga}@icomp.ufam.br

1. Introdução

Este trabalho apresenta a análise de desempenho de um modelo de Rede Neural Artificial (ANN) desenvolvido para a classificação binária de presença ou ausência de doença cardíaca, utilizando o conjunto de dados “Heart Disease” do repositório UCI Machine Learning [Dua and Graff 2019]. O pipeline metodológico compreendeu a limpeza e pré-processamento dos dados, resultando em 302 amostras únicas com um balanceamento de classes favorável (aprox. 54% / 46%), seguido pelo treinamento e avaliação de um classificador neural.

O foco desta análise recai sobre dois aspectos centrais: (1) a justificativa técnica da normalização de dados como uma etapa de pré-processamento indispensável para modelos baseados em gradiente, e (2) a avaliação rigorosa da eficácia e capacidade de generalização do modelo final.

2. Metodologia de Pré-processamento: A Importância da Normalização

A Análise exploratória de dados revelou que a normalização não era uma etapa opcional, mas um pré-requisito para a viabilidade do treinamento.

2.1. O Problema: Disparidade de Escalas dos Atributos

A análise estatística descritiva (via `.describe()`) dos 13 atributos clínicos (features) demonstrou uma vasta disparidade em suas escalas de magnitude. Por exemplo:

- **age** (idade): [29, 77]
- **chol** (colesterol): [126, 564]
- **oldpeak** (depressão ST): [0.0, 6.2]

2.2. Impacto em Redes Neurais Baseadas em Gradiente

O treinamento de ANNs é um problema de otimização onde os pesos sinápticos são ajustados iterativamente para minimizar uma função de custo (loss function). Otimizadores como o Adam (Adaptive Moment Estimation) [Kingma and Ba 2014], uma variação do Gradiente Descendente Estocástico (SGD), são sensíveis à escala dos dados de entrada.

- **Dominância de Atributos:** Sem normalização, atributos com magnitudes maiores (e.g., **chol**) dominariam a função de custo e, consequentemente, o cálculo do gradiente. Isso levaria a atualizações de peso desproporcionais, “ofuscando” a contribuição de atributos com escalas menores, mas potencialmente mais informativos (e.g., **oldpeak**) [LeCun et al. 2012].
- **Convergência Lenta/Instável:** A disparidade de escalas deforma a superfície de custo, criando vales estreitos (narrow ravines). Isso dificulta a convergência do otimizador, que pode oscilar erraticamente ou exigir uma taxa de aprendizado (*learning rate*) excessivamente pequena, tornando o treinamento computacionalmente custoso e instável [Ruder 2016].

2.3. Solução Aplicada: Padronização (Standardization)

A técnica de Padronização (ou *z-score normalization*) foi implementada usando o `StandardScaler` do Scikit-learn [Pedregosa et al. 2011]. Esta técnica transforma cada atributo x de forma independente, de modo que o conjunto de dados resultante tenha média $\mu = 0$ e desvio padrão $\sigma = 1$. A transformação é dada pela Equação 1:

$$z = \frac{x - \mu}{\sigma} \quad (1)$$

Isso garante que todos os atributos contribuam de forma equânime para o processo de aprendizado, permitindo uma convergência mais rápida e estável.

2.4. Prevenção de Vazamento de Dados (Data Leakage)

Criticamente, a normalização foi aplicada de forma a evitar o vazamento de dados. O conjunto de dados foi primeiramente dividido em treino (241 amostras) e teste (61 amostras).

- O objeto `StandardScaler` foi ajustado (*fit*) **exclusivamente** aos dados de treino, calculando a média (μ_{treino}) e o desvio padrão (σ_{treino}) deste subconjunto.
- A transformação (*transform*) foi então aplicada tanto a `X_train` quanto a `X_test`, utilizando os parâmetros μ_{treino} e σ_{treino} .

Este procedimento simula o cenário real onde as estatísticas de dados futuros (teste) são desconhecidas, assegurando uma avaliação imparcial (unbiased) da capacidade de generalização do modelo e prevenindo o vazamento de informação do conjunto de teste para o treinamento [Kaufman et al. 2012].

3. Avaliação da Eficácia do Modelo

O modelo foi avaliado em sua capacidade de generalizar o aprendizado para instâncias não vistas (o conjunto de teste).

3.1. Arquitetura e Paradigma de Treinamento

A arquitetura da ANN foi definida como:

- **Camada de Entrada:** 13 neurônios (correspondendo às 13 features).
- **Camada Oculta 1:** 16 neurônios, ativação ReLU.
- **Camada Oculta 2:** 8 neurônios, ativação ReLU.

- **Camada de Saída:** 1 neurônio, ativação Sigmóide (ideal para classificação binária, resultando em uma probabilidade $p \in [0, 1]$).

Para combater o sobreajuste (overfitting), foram empregadas técnicas de regularização L2 (Weight Decay) [Krogh and Hertz 1991] e Dropout [Srivastava et al. 2014]. O treinamento foi otimizado com 'Adam' e monitorado pelo callback EarlyStopping [Prechelt 2012], observando a perda de validação (val_loss) com uma paciência de 11 épocas.

O treinamento foi configurado para 70 épocas, mas foi interrompido automaticamente na Época 31. Crucialmente, a política de `restore_best_weights` foi ativada, restaurando os pesos da Época 20, que apresentou o menor valor de val_loss (0.4260) e, portanto, o ponto de melhor generalização.

3.2. Resultados de Desempenho (Conjunto de Teste)

O modelo final (com os pesos da Época 20) alcançou as seguintes métricas no conjunto de teste (N=61):

- **Acurácia Final: 83.61%** (51 acertos / 61 amostras). Dado o balanceamento de classes do dataset, a acurácia é uma métrica significativa para este problema.

3.3. Diagnóstico de Overfitting

- Acurácia de Treino: 86.72%
- Acurácia de Validação (Teste): 83.61%
- **Gap de Generalização: 3.12%**

Uma diferença de apenas 3,12% entre o desempenho no treino e no teste é um indicador excelente de que o modelo não está sobreajustado. Isso sugere um bom *trade-off* entre viés (bias) e variância (variance) [Geman et al. 1992], e que as técnicas de regularização (L2, Dropout, EarlyStopping) foram altamente eficazes.

3.4. Análise de Métricas Clínicas (Matriz de Confusão)

Em contextos de diagnóstico clínico, a acurácia agregada é insuficiente, pois trata todos os erros com o mesmo peso. O erro mais crítico é o Falso Negativo (FN) ou Erro Tipo II, onde um paciente doente é diagnosticado como saudável, resultando em tratamento inadequado [Trevethan 2017].

A análise da Matriz de Confusão (Figura 1) e da Tabela 1 revelou a decomposição dos erros:

- Verdadeiros Positivos (TP): 28
- Verdadeiros Negativos (TN): 23
- Falsos Positivos (FP): 5 (Erro Tipo I)
- Falsos Negativos (FN): 5 (Erro Tipo II)

A métrica de maior relevância clínica é o Recall (Sensibilidade), que quantifica a capacidade do modelo de identificar os casos positivos reais, sendo fundamental em aplicações médicas onde falsos negativos têm consequências graves [Powers 2020, Trevethan 2017].

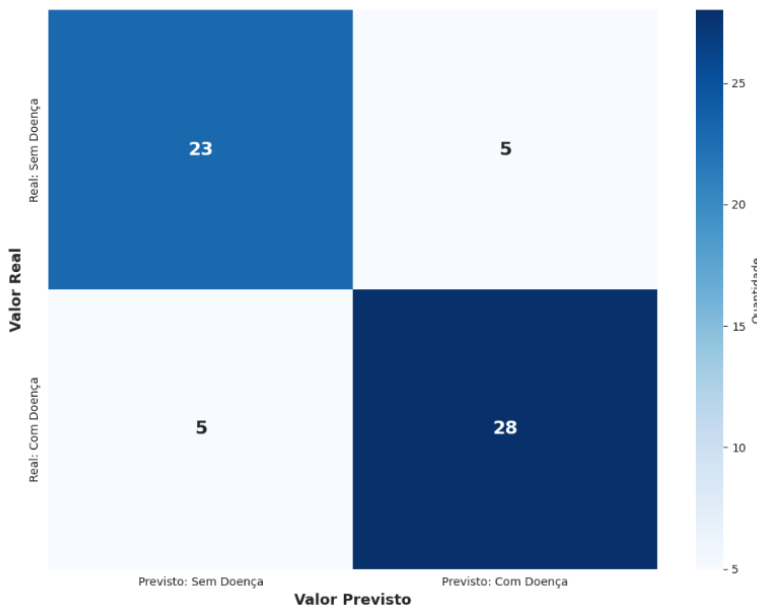


Figura 1. Matriz de Confusão dos resultados no conjunto de teste.

Tabela 1. Resumo das métricas de performance (com bordas).

Métrica	Resultado (Teste)	Interpretação
Acurácia	83.61%	O modelo acertou a classificação de 51 dos 61 pacientes.
Precisão (Classe 1)	84.85%	Das vezes que o modelo previu “Com Doença”, ele acertou 84.85% das vezes.
Recall (Classe 1)	84.85%	O modelo identificou corretamente 84.85% de todos os pacientes que realmente tinham a doença.

- **Recall (Sensibilidade): 84.85%.** Calculado como $\frac{TP}{TP+FN} = \frac{28}{28+5}$. Isso significa que o modelo foi capaz de identificar corretamente quase 85% de todos os pacientes que realmente tinham a doença, falhando em 5 casos (FN).
- **Precisão (VPP): 84.85%.** Calculado como $\frac{TP}{TP+FP} = \frac{28}{28+5}$. Das vezes que o modelo previu “doença”, ele estava correto em 85% dos casos. (Nota: A coincidência numérica com o Recall é uma particularidade deste resultado específico, pois $FN = FP$).

4. Conclusão

O modelo de Rede Neural Artificial proposto demonstrou ser altamente eficaz para a tarefa de classificação de doença cardíaca, alcançando uma acurácia de 83,6% e, mais importante, um Recall (métrica clinicamente relevante) de 84,85%.

Este desempenho é diretamente atribuído a duas decisões metodológicas chave: (1) A aplicação rigorosa da Padronização (z -score), que foi um pré-requisito não opcional para permitir a convergência estável do otimizador; e (2) O uso combinado de técnicas de regularização (L2, Dropout e Early Stopping), que mitigaram eficazmente o overfitting.

O resultado é um classificador robusto e com alta capacidade de generalização para dados não vistos.

Referências

- Dua, D. and Graff, C. (2019). UCI machine learning repository. <http://archive.ics.uci.edu/ml>.
- Geman, S., Bienenstock, E., and Doursat, R. (1992). Neural networks and the bias/variance dilemma. *Neural Computation*, 4(1):1–58.
- Kaufman, S., Rosset, S., Perlich, C., and Stitelman, O. (2012). Leakage in data mining: Formulation, detection, and avoidance. *ACM Transactions on Knowledge Discovery from Data (TKDD)*, 6(4):1–21.
- Kingma, D. P. and Ba, J. (2014). Adam: A method for stochastic optimization. *arXiv preprint arXiv:1412.6980*.
- Krogh, A. and Hertz, J. A. (1991). A simple weight decay can improve generalization. *Advances in Neural Information Processing Systems*, 4.
- LeCun, Y. A., Bottou, L., Orr, G. B., and Müller, K.-R. (2012). Efficient backprop. *Neural Networks: Tricks of the Trade*, pages 9–48.
- Pedregosa, F., Varoquaux, G., Gramfort, A., Michel, V., Thirion, B., Grisel, O., Blondel, M., Prettenhofer, P., Weiss, R., Dubourg, V., Vanderplas, J., Passos, A., Cournapeau, D., Brucher, M., Perrot, M., and Duchesnay, E. (2011). Scikit-learn: Machine learning in Python. *Journal of Machine Learning Research*, 12:2825–2830.
- Powers, D. M. W. (2020). Evaluation: from precision, recall and f-measure to roc, informedness, markedness and correlation. *arXiv preprint arXiv:2010.16061*.
- Prechelt, L. (2012). Early stopping-but when? In Montavon, G., Orr, G. B., and Müller, K.-R., editors, *Neural Networks: Tricks of the Trade*, pages 53–67. Springer, 2nd edition.
- Ruder, S. (2016). An overview of gradient descent optimization algorithms. *arXiv preprint arXiv:1609.04747*.
- Srivastava, N., Hinton, G., Krizhevsky, A., Sutskever, I., and Salakhutdinov, R. (2014). Dropout: A simple way to prevent neural networks from overfitting. *Journal of Machine Learning Research*, 15:1929–1958.
- Trevethan, R. (2017). Sensitivity, specificity, and predictive values: foundations, pliabilities, and pitfalls in research and practice. *Frontiers in Public Health*, 5:307.